

## 12 大小2流域における流出特性の比較

北大工学部	正員	工博 岸 力
北大工学部	正員	中尾 欣四郎
大成建設K.K.	正員	猪俣 通
静岡県土木部	正員	増本 秀二

1. 降雨流出の機構 降雨流出の解析は流域内の任意の地点における降雨が、観測点まで流下するに要する時間と求めることである。雨水の流下至點は山腹斜面と流路とに大別され、それぞれ勾配と粗度が著しく異っている。

流路における流下時間については、洪水追跡法としていくつかの解析方法が提案されている。また斜面における流下時間については、岩垣・末石、石原・高樟らによる特性曲線法を利用できる。大流域では流路の流下時間が無視できまいから、河道の貯留効果と斜面における降雨の流下時間と組合はせた解析方式が有効であり、小流域では流路を無視して斜面の流下時間のみで流出解析を行うこともできよう。

### 2. 石狩川伊納の流出（大流域の例）

2.1. 解析方法の検討。伊納は旭川の下流約8kmにあり流量観測所でその集水面積は3,310km<sup>2</sup>あり、大流域の例と考へられる。伊納に用いる貯留関数を選定するため流出の逕減部をしきべた。その代表例を図-1に示す。图で明らかな通り減水が始つてから4~5時間まで逕減し、以後の表面流出が終了した後では逕減部は1本の指數曲線であらわされ貯留関数として流量の一次型式が適していることがわかる。しかも逕減係数の値が殆んど一定である。この事を更に確かめるため、昭和28年~33年の間ににおける15の洪水について逕減係数を求め各洪水の頂点流量との相関をしきべたところ、逕減係数は頂点流量に關係しないと判断され、その平均値は  $C = 0.145(\text{hr}^{-1})$  となった。

斜面における流下時間は降雨継続時間の長短に關係する。北海道の降雨は強度、継続時間ともに比較的小さいから、伊納の流出では降雨終了後に頂点流量があらわれる例が多い。このような場合における斜面の流下時間は石原・高樟によれば

$$t_L = C L R_e^{(1-1/p)} + (1-p) t_d \quad (1)$$

ここで  $t_L$  = 長さLの斜面を流下するに要する時間

$R_e$  = 総有効雨量

$C$  = 係数,  $p$  = 流速公式に關係する指数

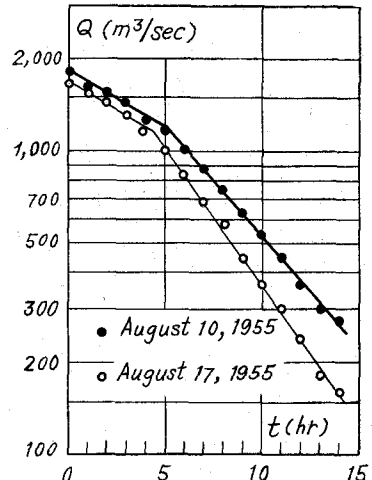


図-1

指標の値を見積るため、流出の上昇時間、 $t_g$ 、すなわち流出の始点から頂点流量までの時間と降雨との関係をしきべた。 $t_g$  は河道貯留によるおくれの時間も含むから、(1)式の  $t_L$  と  $t_g$  とは等しくない。そこで資料を  $Re$  の大小によって 2 グループに分け、各グループの中では河道貯留の効果に大差がないものと考へ、(1)式の  $t_L$  の代りに実測の  $t_g$  を用いた。(1)式によれば  $t_g$  は總有効雨量とその継続時間に關係する。Manning の式が成立すれば  $\gamma \approx 0.6$  のはずであるから、先づ  $p=0.6$  と假定し  $(t_g - 0.4 t_d)$  と  $Re$  の關係をしきべ図-2 に示した。図-2 では大略  $(t_g - 0.4 t_d) \propto Re^{-0.63}$  であり、 $p=0.6$  という假定が成立していると認められる。 $p=0.6$  とすれば伊納では  $t_L = CL Re^{-0.66} + 0.4 t_d$  となる。しかし図に示す通り係数  $C$  の値は  $Re$  によって異る上、 $t_g$  と  $t_L$  とは同一ではない。したがってこの關係から直ちに伊納における  $t_L$  を求めることは難しいが、 $t_L$  に洪水到達時間の実験式、例へば  $t_L = \alpha L^m$  の形式を用ひれば、 $\alpha$  は常数ではなく降雨條件によって変化するものであることがわかる。

**2.2. 解析結果** 前述の河道貯留の性質と降雨の流下時間の特長から、伊納の流出にはいわゆる立神の方法が適用していることがわかる。たゞし頂点流量のおくれか一定値になるとは期待できないから、単位図として数種のものを用意する必要がある。流出が完全には線型でない爲これも止むを得ない。計算の結果、伊納では昭和28年～33年の間の15洪水に対して頂点流量のおくれが 7, 8, 9, 10 および 11 時間の 5 種の単位図を用意すればよいことが判った。図-3 は実測値と計算値とを比較した 1 例である。伊納では總雨量が大きくなつて、頂点流量のおくれが大きくなる傾向が認められた。

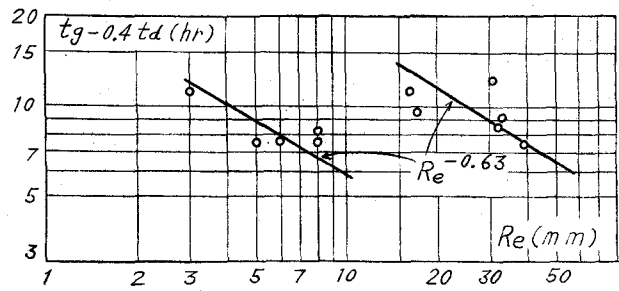


図-2

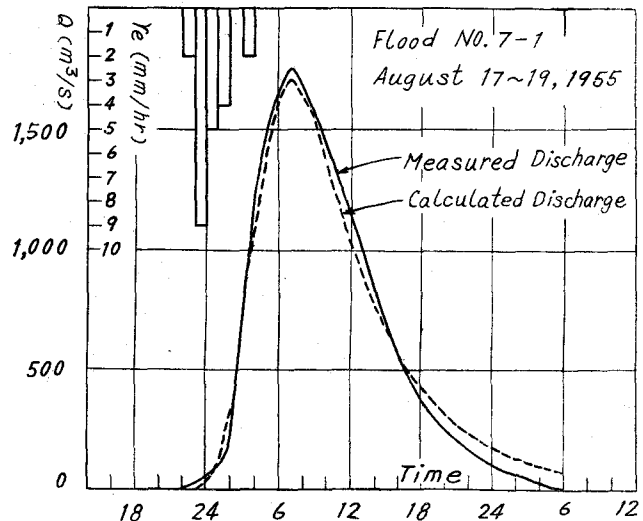


図-3

### 3. 豊平川簾舞の流出（小流域の例）

**3.1. 解析方法の検討。** 瀬舞(せまい)は札幌市の上流約 14 km に亘る豊平川本流の流量観測所でその集水面積  $460 \text{ km}^2$ 、流路延長 32 km である。流域は大部分勾配  $1/5 \sim 1/10$  の山地で小流域の例と考へられる。

河道貯留の効果をみるとため、流出の遮減部をしらべ図-4に示した。図-4にみる通り流出の遮減部は、伊納の例とは異なり1本の指數曲線ではあらわし得ない。この事から簾舞の流出では河道貯留の効果が小さく、流出曲線は主として降雨が山腹斜面を流下する時間に支配されていると判断した。このような場所では木村の貯留閑数法を用いるよりも一案であるか、資料数が少ないのでここでは特性曲線法を用いることにした。

簾舞上流域を4流域に区分し、矩形流域に直すと表-1のようになる。

表-1によれば、

簾舞上流域は豊平川本流々域工と小樽内川流域Ⅱとか流域の大部分を占め、しかもこの2流域は面積、勾配、斜面中ともよく似た値をもつてゐる。したがって簾舞の流出解析では、全流域を一括して考へることができる。

特性曲線法では斜面の等価粗度係数をきめるのが計算上の要項になる。全流域を一括して考へれば、流出の始点から頂点流量までの流出の上昇時間  $t_g$  に注目して粗度係数  $N$  の近似値を求めることができる。簾舞の流出曲線をしらべると、頂点流量が降雨終了直後に生じている例が多かつた。このような場合には、石原・高橋によれば  $t_g$  は

$$t_g = \left( \frac{N}{\sqrt{i}} \right)^{1/p} \cdot B^p \cdot r_m^{(p-1)} \quad (2)$$

ここで  $t_g$  = 流出の上昇時間

$N$  = 等価粗度係数

$i$  = 斜面勾配,  $B$  = 斜面中

$r_m$  = 平均雨量強度

簾舞の実測値で  $t_g$  と  $r_m$  との関係をしらべると図-5の結果を得られた。図-5では頂点流量の大小によって  $t_g$  と  $r_m$  との関係が分かれようであり、この性質は図-2に示した伊納の例に似てい。

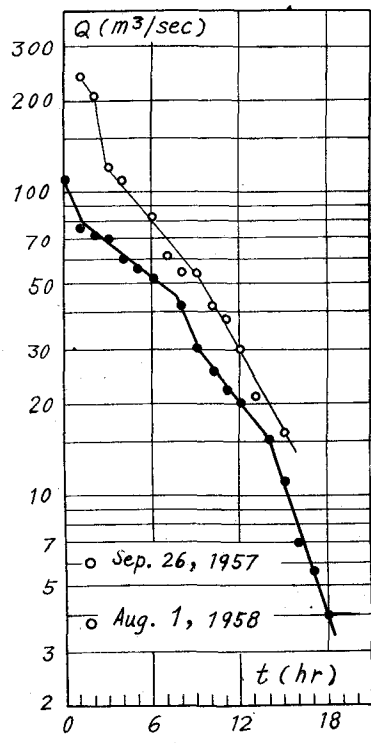


図-4

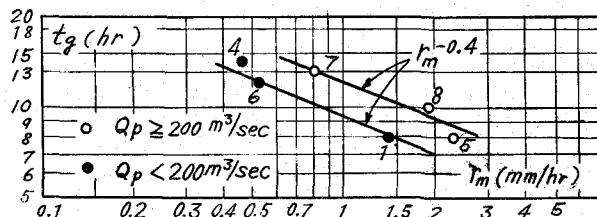


図-5

図には頂点流量  $200 \text{ m}^3/\text{sec}$  を含めて、流量の大きい場合と小さい場合との2本の線を記入してある。しかししきりの場合とも  $t_g$  は  $r_m^{-0.4}$  に比例し、したがって  $\rho = 0.6$  である。  
(3)式から I, II 2流域の平均値で  $N$  を計算すれば、 $B=2500 \text{ m}$ ,  $i=0.185$  より  $\rho = 0.6$ ,  $Q_f \geq 200 \text{ m}^3/\text{sec}$  の線と組合せて  $N=0.41$  ( $\text{m}\cdot\text{sec}$  単位) が得られる。

### 3.2. 解析結果

算出粗度係数  $N$  の中一近似値として  $N=0.41$  を用い、表-1 に示した2流域の流出量を合成し、実測値と比較してから  $N$  の値を修正した。 $N$  の最終値は頂点流量  $200 \text{ m}^3/\text{sec}$  以上の場合には  $N=0.30$  となった。図-6 に実測値と計算値とを比較して示した。

また図-5 によれば斜面のみを考慮する今の解説法では、流量によって算出粗度係数  $N$  を多少変へればよい結果が得られることわかる。頂点流量  $200 \text{ m}^3/\text{sec}$  以下のときは、図-5 から求めた第一近似値  $N=0.31$  に対し最終値は  $N=0.20$  となった。流量と算出粗度係数との関係については、さらに検討したい。

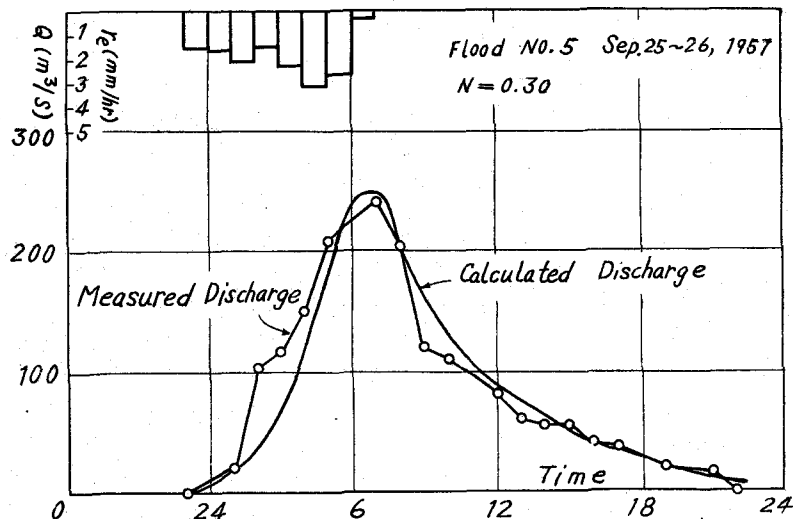


図 - 6

### 参考文献

- 1) 岩垣雄一, 高柳琢馬; 降雨および流域特性が流出關係に及ぼす効果について, 京大防災研論文集, 昭31. 11.
- 2) 末石富太郎; 特性曲線法による出水解析について, 土木学会論文集, 29号, 昭31. 2.
- 3) 石原謙次郎, 高柳琢馬; 単位面法とその適用に関する基礎的研究, 土木学会論文集, 60号(昭34. 3-3), 昭34. 3.
- 4) 藤原謙爾, 上田年比古; 茂後川上流部の出水解析, 1, 2報, 九州大学応用力研究所所報 12, 13号.
- 5) 立神弘洋; 洪水流出の新解析法, 昭30. 3.
- 6) 木村俊晃; 洪水流出解析の一方法, 建設省沼津工事事務所, 昭31. 10.
- 7) 木村俊晃; 洪水流出の推定法に関する研究(1), 建設省土木研究所報告, 102号, 昭33. 12.
- 8) 岸力, 中尾欣四郎; 石狩川伊納の流出について, 土木学会北海道支部技術資料, 昭35. 2.